

VI FOGLIO DI COMPENDIO ALLA TEORIA

Cambiamento di variabili negli integrali multidimensionali à la Riemann.
(15, 19 Aprile 2002, V. Tortorelli.)

0. Si richiamano alcune nozioni presentate in precedenti lezioni

Definizione 1. $A \subseteq \mathbb{R}^n$ si dice di misura nulla secondo Peano-Jordan se 1_A è Riemann integrabile e $\int_A 1_A(x) dx = 0$

Osservazione 1. In particolare un tale insieme è limitato.

- Se $|f| \leq M$ su A allora $\exists \int_A f = 0 : |f| 1_A \leq M 1_A$

- Se A e B hanno misure nulle allora anche $A \cup B$ ha misura nulla: $1_{A \cup B} \leq 1_A + 1_B$.

Proposizione 1. A è di misura nulla $\Leftrightarrow \forall \varepsilon > 0 \exists R_i = \prod_{j=1}^n [a_j, b_j] : A \subseteq (\bigcup_{i=1}^N R_i)^c$ e $\sum_{i=1}^N \prod_{j=1}^n (b_j - a_j) \leq \varepsilon$
e ciò è equivalente a considerare un tale ricoprimento con n -intervalli con interni a due a due disgiunti.

Proposizione 2. $A \subseteq \mathbb{R}^n$.

I. $\{x : 1_A \text{ è discontinua in } x\} = \partial A$

II. 1_A è Riemann integrabile se e solo se lo sono 1_{A^c} , $1_{\bar{A}}$ e solo se $\int_{\partial A} 1_A = 0$

Dimostrazione di II \Rightarrow

1_A Riemann integrabile: $\exists \sigma_1, \sigma_2$ semplici: $\sigma_1 \leq 1_A \leq \sigma_2$, $0 \leq \int \sigma_2 - \int \sigma_1 \leq \varepsilon$

Si considerino le due funzioni: $\tau_1(x) = \begin{cases} 0 & \sigma_1(x) \leq 0 \\ 1 & \sigma_1(x) > 0 \end{cases}$ $\tau_2(x) = \begin{cases} 0 & \sigma_2(x) < 1 \\ 1 & \sigma_2(x) \geq 1 \end{cases}$

esse sono ancora semplici e $\tau_1 \leq 1_A \leq \tau_2$, $0 \leq \int \tau_2 - \int \tau_1 \leq \varepsilon$. Si ha

$\tau_1 = \sum_{i=1}^n 1_{R_i}$ R_i rettangoli $R_i \cap R_j = \emptyset$ $\tau_2 = \sum_{i=1}^n 1_{Q_i}$ Q_i rettangoli $Q_i \cap Q_j = \emptyset$

Si ha $\sum 1_{R_i} =: \varphi_1 \leq 1_{A^c} \leq 1_A \leq 1_{\bar{A}} \leq \sum 1_{Q_i} =: \varphi_2$ e $0 \leq 1_{\partial A} \leq \varphi_2 - \varphi_1$.

Poiché $\int \varphi_i = \int \tau_i$ si ha: $\exists \int_{\partial A} 1_A = 0$ e per additività $\int 1_{\bar{A}}, \int 1_{A^c} = \int 1_A$.

Osservazione 2. Dalle disuguaglianza triangolare si deduce che se A ha misura nulla ed f è Riemann integrabile $\int_A f dx = 0$. Si osservi che $\int 1_A \neq 0 \Rightarrow A^c \neq \emptyset$

Osservazione 3. Se A è una porzione di grafico di una (A limitato) funzione di $(n-1)$ -variabili, rispetto ad $(n-1)$ coordinate delle base canonica, che sia Riemann integrabile allora A ha misura nulla

In particolare i sottoinsiemi limitati di sottospazi affini di dimensione $h \leq n$ hanno misura nulla

Definizione 2 $A \subseteq \mathbb{R}^n$ si dice Peano-Jordan misurabile se 1_A è Riemann integrabile. Si scrive $A \in \mathcal{PJ}$. Tale A sarà limitato. Nel caso il numero $\int_A 1(x) dx$ si dice misura (secondo Peano-Jordan) di A , e si usa la notazione:

$$m(A)$$

Proposizione 3

$$1) \bigtimes_{i=1}^n [a_i; b_i] \in \mathcal{PJ} \quad : \quad m\left(\bigtimes_{i=1}^n [a_i; b_i]\right) = \prod_{i=1}^n (b_i - a_i)$$

$$2) A, B \in \mathcal{PJ} \Rightarrow A \cup B, A \cap B, A \setminus B \in \mathcal{PJ} \quad (\text{semialgebra})$$

$$" \quad e \quad A \subseteq B \Rightarrow m(A) \leq m(B) \quad (\text{monotonia})$$

$$" \quad e \quad A \cap B = \emptyset \Rightarrow m(A \cup B) = m(A) + m(B) \quad (\text{additività})$$

$$3) A \in \mathcal{PJ}, v \in \mathbb{R}^n \Rightarrow A + v = \{x : \exists a \in A \text{ e } x = a + v\} \in \mathcal{PJ}$$

$$m(A + v) = m(A) \quad (\text{invarianza per traslazioni})$$

$$4) A \in \mathcal{PJ}, \lambda \in \mathbb{R}$$

$$\Rightarrow \lambda A \in \mathcal{PJ} \text{ e } m(\lambda A) = |\lambda|^n m(A) \quad (\text{invarianza per dilatazioni})$$

DIMOSTRAZIONE

1) Segue dalle definizioni 2) Poiché $\partial(A \cup B), \partial(A \cap B), \partial(A \setminus B) \subseteq \partial A \cup \partial B$ che ha misure nulle le prime implicazioni segue dalle proposizioni 2. Le seconde dalle monotonie dell'integrale $1_A \leq 1_B \Rightarrow m(A) = \int 1_A \leq \int 1_B = m(B)$. Le terze dall'additività dell'integrale: $1_{A \cup B} + 1_{A \cap B} = 1_A + 1_B$

3), 4) Tali asseriti sono veri per definizione se A è un rettangolo essendo $v + A$ e λA rettangoli. Osservando quindi che se $\sigma(x)$ è semplice anche $\sigma(x-v)$ e $\sigma(\frac{x}{\lambda})$ sono semplici si procede come segue

$$\forall \varepsilon \exists \sigma_1, \sigma_2 \text{ semplici } \sigma_1 \leq 1_A \leq \sigma_2 \quad \int \sigma_2 - \int 1_A \leq \varepsilon \quad \int 1_A - \int \sigma_1 \leq \varepsilon$$

$$\sum \lambda_i 1_{R_i+v}(x) = \sigma_1(x-v) \leq 1_A(x-v) = 1_{A+v}(x) \leq \sigma_2(x-v) = \sum \sigma_i 1_{R_i+v}(x)$$

$$\sum \lambda_i 1_{\lambda R_i}(x) = \sigma_1\left(\frac{x}{\lambda}\right) \leq 1_A\left(\frac{x}{\lambda}\right) = 1_{\lambda A}(x) \leq \sigma_2\left(\frac{x}{\lambda}\right) = \sum \sigma_i 1_{\lambda R_i}(x)$$

Per quanto osservato l'asserto vale per le funzioni semplici; quindi:
 $\int \sigma_1(x-v) = \int \sigma_1(x)$, $\int \sigma_1\left(\frac{x}{\lambda}\right) = |\lambda|^n \int \sigma_1(x)$ per linearità dell'integrale. Quindi per definizione di integrale si ha le tesi.

Osservazione 4 Queste proprietà caratterizzano la misura di Peano-Jordan

Proposizione 4 Se $\mu: \mathcal{PJ} \rightarrow \mathbb{R}$ soddisfa 1), 2), 3) allora $\mu \equiv m$ ([CS] 32.13)

Osservazione 5 LA STRATEGIA PER PROVARE 3) E 4)

Rettangoli \rightarrow semplici \rightarrow Riemann integrabili

SARÀ USATA DIFFUSAMENTE IN QUANTO SEGUE.

1. Prima parte: cambiamenti di coordinate affini.

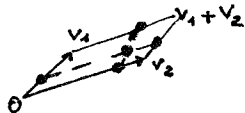
Definizione 3 $A \subseteq \mathbb{R}^n, B \subseteq \mathbb{R}^n : A+B =: \{x \in \mathbb{R}^n : \exists a \in A, b \in B : x = a+b\} = \bigcup_{b \in B} (A+b)$

Osservazione 6 $A+A \supseteq 2 \cdot A = \{x : \exists a \in A : x = 2a\}$ in generale sono diversi.

Definizione 4 Parallelepipedo generato da $0, v_1, \dots, v_m, v_1 + \dots + v_m$

$$P(v_1, \dots, v_m) =: \{x : x = \sum_{i=1}^m \lambda_i v_i : 0 \leq \lambda_i \leq 1\} = (v_1, \dots, v_m)([0; 1]^m)$$

e.g. $P(v_1) =$ segmento tra 0 e v_1 , $P(v_1, v_2) =$ parallelogramma di vertici $0, v_1, v_2, v_1+v_2$



Lemma 1 Se $v_1, \dots, v_{n-m} \in \mathbb{R}^n$ sono linearmente dipendenti, oppure $m \neq 0$ allora $m(P(v_1, \dots, v_{n-m})) = 0$

DIMOSTRAZIONE

Per le ipotesi fatte $P(v_1, \dots, v_{n-m})$ è contenuto in un sottospazio di dimensione $h \neq n$ e limitato.

Lemma 2 $m(P(v_1, \dots, v_n)) = |\det(v_1 \dots v_n)|$

DIMOSTRAZIONE. I parallelepipedi sono misurabili avendo frontiere di misura 0. Si prova che $f(v_1, \dots, v_n) =: \text{sign}(\det(v_1 \dots v_n)) \cdot \text{mis}(P(v_1 \dots v_n))$ è multilineare ed alternante e vale 1 sulle base canonica. Per unicità del determinante si conclude.

i. $f(e^1, \dots, e^n) = \text{sign}(\det(\text{Id})) \cdot \text{mis} P(e^1 \dots e^n) = 1 \cdot \text{mis}([0; 1]^n) = 1$

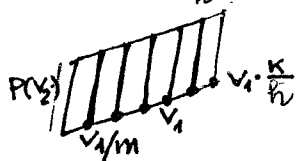
ii. $f(v_{\sigma_1} \dots v_{\sigma_n}) = (-1)^{\text{sign} \sigma} \text{sign}(\det(v_1 \dots v_n)) \cdot \text{mis} P(v_{\sigma_1} \dots v_{\sigma_n})$, ma $P(v_1 \dots v_n) = P(v_{\sigma_1} \dots v_{\sigma_n})$.

iii. Per provare $f(\dots, \lambda v_i, \dots) = \lambda f(v_1, \dots, v_n)$ grazie a ii basta provare

$$m(P(\lambda v_1, \dots, v_n)) = |\lambda| m(P(v_1, \dots, v_n))$$

- Poiché $P(v_1 \dots v_n) = P(v_1) + P(v_2 \dots v_n) = v_1 + P(-v_1) + P(v_2 \dots v_n) = v_1 + P(-v_1, v_2 \dots v_n)$ grazie all'invarianza per traslazioni delle misure si si riduce a $\lambda \geq 0$

- Se $\lambda = \frac{k}{h} \geq 0$ razionale poiché $P(\frac{k}{h} v_1, v_2 \dots v_n) = \bigcup_{l=0}^{k-1} (\frac{l}{h} v_1 + P(\frac{v_1}{h}, \dots, v_n))$



e le intersezioni degli elementi dell'unione sono parallelepipedi $(n-1)$ -dimensionali quindi con misura nulla sempre per invarianza per traslazioni e per additività si ha

$$m(P(\frac{k}{h} v_1, \dots, v_n)) = k m(P(\frac{v_1}{h}, \dots, v_n)) = \frac{k}{h} (h \cdot m(P(\frac{v_1}{h}, \dots, v_n))) = \frac{k}{h} P(v_1, \dots, v_n)$$

- Se si prova che $g(\lambda) = m(P(\lambda v_1, v_2 \dots v_n))$ è continua si ha la tesi.

Poiché per $\gamma > \lambda : P(\gamma v_1, \dots, v_n) \setminus P(\lambda v_1, \dots, v_n) \subseteq \lambda v_1 + P((\gamma - \lambda) v_1, \dots, v_n)$ per invarianza per traslazioni e per additività delle misure si ha:

$$m(P(\gamma v_1, \dots, v_n) \setminus P(\lambda v_1, \dots, v_n)) = m(P(\gamma v_1, \dots, v_n)) - m(P(\lambda v_1, \dots, v_n)).$$

Per la continuità basta quindi provare $\lim_{h \rightarrow 0^+} g(h) = 0$.

Essendo per $h \geq 0$, g una funzione crescente, in quanto la misura è monotona, la tesi segue poiché per il punto precedente

$$\lim_{h \rightarrow 0^+} g(h) = 0, \text{ e } g(1/[1;n]) \geq g(h) \geq 0.$$

iv. Per provare la linearità per colonne grazie a ii e a iii basta provare

$$f(v_1+w, v_2 \dots v_n) = f(v_1, v_2 \dots v_n) + f(w, v_2 \dots v_n)$$

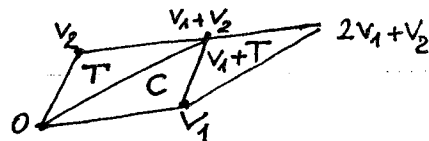
inoltre ci si riduce al caso v_1, \dots, v_n linearmente indipendenti; e quindi grazie a ii e iii al caso

$$f(v_1+v_2, v_2 \dots v_n) = f(v_1, v_2 \dots v_n) \text{ e procedere poi per induzione.}$$

Basterà provare $m(P(v_1+v_2, v_2 \dots v_n)) = m(P(v_1, v_2 \dots v_n))$

$$P(v_1, v_2, \dots, v_n) = P(v_1, v_2) + P(v_3, \dots, v_n)$$

$$P(v_1+v_2, v_2 \dots v_n) = P(v_1+v_2, v_2) + P(v_3, \dots, v_n)$$



$$= C \cup T + P(v_3 \dots v_n) = (C + P(v_3 \dots v_n)) \cup (T + P(v_3 \dots v_n))$$

$$= C \cup (T+v_1) + P(v_3 \dots v_n) = (C + P(v_3 \dots v_n)) \cup ((v_1+T) + P(v_3 \dots v_n))$$

poiché le intersezioni degli elementi delle unioni sono parallelepipedi $(n-1)$ -dimensionali e quindi con misura nulla per additività ed invarianza per traslazioni della misura si ha quanto desiderato.

Corollario 1 $L: \mathbb{R}^n \rightarrow \mathbb{R}^n$ lineare, R n -intervallo $\Rightarrow m(LR) = |\det L| \cdot m(R)$

DIMOSTRAZIONE

$$R = \prod_{i=1}^n [a_i; b_i] = (a_1, \dots, a_n) + P((b_1-a_1)e^1, \dots, (b_n-a_n)e^n)$$

$$LR = L(a_1, \dots, a_n) + LP((b_1-a_1)e^1, \dots, (b_n-a_n)e^n) = L(a_1 \dots a_n) + P((b_1-a_1)Le^1, \dots, (b_n-a_n)Le^n)$$

per invarianza per traslazioni della misura e multilinearità del determinante: tesi.

Teorema 1 $L: \mathbb{R}^n \rightarrow \mathbb{R}^n$ lineare, $v \in \mathbb{R}^n$, $\psi(x) = Lx + v$, $A \subseteq \mathbb{R}^n$.

f Riemann integrabile su $\psi(A) \Leftrightarrow f \circ \psi$ Riemann integrabile su A

$$\int_{LA+v} f(x) dx = \int_A f(Lx+v) |\det L| dx$$

DIMOSTRAZIONE. Ci si può ridurre al caso $|\det L| \neq 0$: ψ bigettiva.

$$\bullet \forall \varepsilon \exists \sigma_1 = \sum_{i=1}^n \lambda_i 1_{R_i}, \sigma_2 = \sum_{i=1}^n \delta_i 1_{R_i}, R_i \text{ n-intervalli } \sigma_1 \leq 1_{\psi(A)} \leq \sigma_2, \left| \int \sigma_1 - \int \sigma_2 \right| \leq \varepsilon$$

Essendo ψ bigettiva si ha anche: $\sigma_1 \circ \psi \leq 1_A \cdot f \circ \psi \leq \sigma_2 \circ \psi$

• Essendo $\sigma_1 \circ \psi = \sum_{i=1}^n \lambda_i 1_{\psi^{-1}(R_i)}$, $\sigma_2 \circ \psi = \sum_{i=1}^n \delta_i 1_{\psi^{-1}(R_i)}$, poiché ψ^{-1} è affine e $\psi^{-1}(R_i)$ sono quindi parallelepipedi, si ha che $\sigma_1 \circ \psi$ e $\sigma_2 \circ \psi$ sono integrabili:

$$\bullet \int \sigma_1(\psi(x)) dx = \sum_{i=1}^n \lambda_i m(\psi^{-1}(R_i)) = \sum_{i=1}^n \lambda_i m(L^{-1}R_i - L^{-1}v) = \sum_{i=1}^n \lambda_i m(L^{-1}R_i) = \frac{1}{|\det L|} \sum_{i=1}^n \lambda_i m(R_i)$$

$$\text{analogamente } \int \sigma_2(\psi(x)) dx = \frac{1}{|\det L|} \int \sigma_2(x) dx$$

quindi $\int \sigma_2 \circ \psi - \int \sigma_1 \circ \psi \leq \frac{2\varepsilon}{|\det L|}$ per caratterizzazione di integrabilità

ne segue che $1_A \cdot f \circ \psi$ è integrabile e $\int_A f(\psi(x)) dx = \frac{1}{|\det L|} \int_{\psi(A)} f(x) dx$

Il viceversa si ottiene considerando $\psi^{-1}: A, f \circ \psi$ al posto di $\psi, \psi(A), f$.

Introduzione alla seconda parte

Osservazione 6 bis

Dato un generico cambiamento di coordinate $\Psi: \mathbb{R}^n \rightarrow \mathbb{R}^n$ non necessariamente lineare o affine

$$y = \Psi(x)$$

il risultato del corollario 1 suggerisce il seguente argomento euristico

$$dy_1 \dots dy_n = \text{volume parallelepipedo infinitesimo} = |\det dy| \cong \\ \cong |\det d(\Psi(x))| = |\det(d\Psi(x) \cdot dx)| = |\det d\Psi(x)| |\det dx| =$$

$$|\det d\Psi(x)| dx_1 \dots dx_n$$

che suggerisce sostituendo formalmente la seguente formula

$$\int_{\Psi(A)} f(y) dy_1 \dots dy_n = \int_A f(\Psi(x)) |\det d\Psi(x)| dx_1 \dots dx_n$$

che generalizzi quella provata per il teorema 1 con Ψ affine.

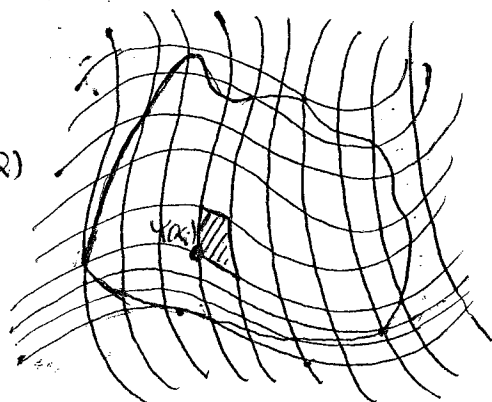
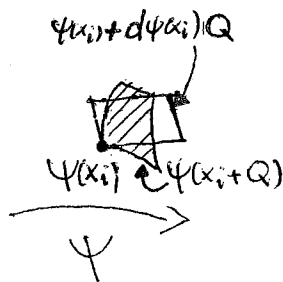
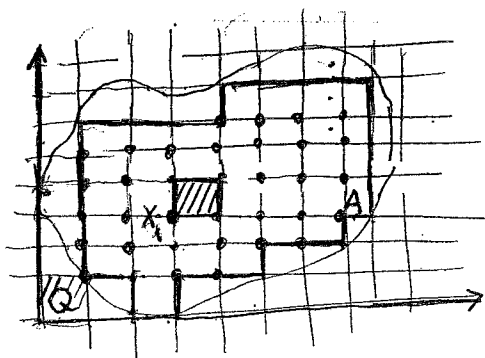
La sua dimostrazione ricade, nel caso delle teorie di Riemann, nella seguente traccia basata sulla continuità scegliendo Q piccolo:

$$\int_{\Psi(A)} f(y) dy \sim \sum_i \int_{\Psi(x_i+Q)} f(y) dy \sim [\text{UNIF. CONT. } f] \sum_i f(\Psi(x_i)) m(\Psi(x_i+Q)) \sim$$

$$[\text{UNIF. CONT. } d\Psi; \Psi(y) \sim \Psi(x_i) + d\Psi(x_i)(y-x_i)] \sum_i f(\Psi(x_i)) m(d\Psi(x_i)Q + \Psi(x_i))$$

$$= [\text{INV. TRASL.}] \sum_i f(\Psi(x_i)) m(d\Psi(x_i)Q) = [\text{COR. 1}] \sum_i f(\Psi(x_i)) |\det d\Psi(x_i)| m(Q)$$

$$= \sum_i f(\Psi(x_i)) |\det d\Psi(x_i)| m(x_i+Q) \sim [\text{U.C.}] \int_{\cup x_i+Q} f(\Psi(x)) |\det d\Psi(x)| dx$$

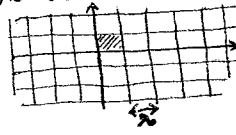


2 Seconda parte: cambiamenti di coordinate regolari

Si premette la seguente osservazione, conseguenza diretta della caratterizzazione della Riemann integrabilità per ampiezza delle suddivisione infinitesima.

Corollario 2 $A \in \mathcal{P} \Rightarrow \forall \eta \forall \varepsilon > 0 \exists Q_1, \dots, Q_N : Q_i = x_i + [0; \lambda]^n$ ipercubi congruenti
 $\partial A \cap \bar{Q}_i \neq \emptyset, \partial A \subseteq (\bigcup_{i=1}^N Q_i)^o, \sum_{i=1}^N m(Q_i) = N\lambda^n \leq \varepsilon, Q_i \cap Q_j = \emptyset, \lambda \leq \eta.$

Dimostrazione \Rightarrow Dato $\varepsilon > 0$ sia δ il parametro di finezza dato dal citato criterio ([CS] 31.9 pag 360). Sia $\lambda \leq \min\{\eta, \delta/\sqrt{n}\}$ e si considerano gli ipercubi $\lambda \sum_{i=1}^n k_i e^i + [0; \lambda]^n, k_i \in \mathbb{Z}$, che intersecano ∂A in numero finito poiché se $A \in \mathcal{P}$ allora A è limitato. Essi sono



Definizione 5 Sia Ω aperto di $\mathbb{R}^n, \psi: \Omega \rightarrow \mathbb{R}^n$ si dice cambiamento di coordinate regolare (c.c.r.) su Ω se:

- i) $\psi \in C^1(\Omega, \mathbb{R}^n)$
- ii) $\forall x \in \Omega d\psi(x)$ è un operatore lineare invertibile da \mathbb{R}^n in se, cioè: $\det d\psi(x) \neq 0$
- iii) ψ è iniettiva su tutto Ω

Osservazione 7: Grazie al teorema di invertibilità locale si deduce nel caso che $\psi(\Omega) := \tilde{\Omega}$ è aperto, e quindi la nozione data è equivalente a:

ψ è un diffeomorfismo C^1 tra gli aperti di \mathbb{R}^n Ω ed $\tilde{\Omega}$, cioè:

ψ è bigettiva da Ω su $\tilde{\Omega}, \psi \in C^1(\Omega, \mathbb{R}^n), \psi^{-1} \in C^1(\tilde{\Omega}, \mathbb{R}^n),$

Teorema 2 Sia ψ un diffeomorfismo C^1 dall'aperto $\Omega \subseteq \mathbb{R}^n$ all'aperto $\tilde{\Omega} \subseteq \mathbb{R}^n$. Se Ω ed $\tilde{\Omega}$ sono J-J-misurabili e $|\det d\psi|$ è Riemann integrabile su Ω allora per ogni g Riemann integrabile su $\tilde{\Omega} = \psi(\Omega)$ si ha:

i) $g \circ \psi \cdot |\det d\psi|$ è Riemann integrabile su Ω

$$ii) \int_{\psi(\Omega)} g(x) dx = \int_{\Omega} g(\psi(x)) |\det d\psi(x)| dx$$

Osservazione 8 Per provare questo teorema ci si riduce al caso $\{y \in \tilde{\Omega} : g(y) \neq 0\}$ limitato e $\overline{\{y \in \tilde{\Omega} : g(y) \neq 0\}} \subseteq \tilde{\Omega} = \tilde{\Omega}^o$

Questa ulteriore ipotesi rende superflue:

- 1) le assunzioni di misurabilità su Ω e $\tilde{\Omega}$; le integrande essendo nulle su aperti contenenti $\partial\Omega$ e $\partial\tilde{\Omega}$
- 2) le assunzioni di integrabilità su $|\det d\psi|$: è una funzione continua su un compatto misurabile contenente $\psi^{-1}\{g \neq 0\}$

Inoltre con questa ipotesi

3) l'assunzione di integrabilità di g su $\tilde{\Omega}$ è equivalente a quella di $g \circ \psi \cdot |\det d\psi|$ su Ω e a quella di integrabilità della sola $g \circ \psi$ su Ω ; in effetti ψ e ψ^{-1} diventano intercambiabili poiché: $0 < c \leq |\det(d\psi^{-1})| = |\det(d\psi)\psi^{-1}|^{-1} \leq C < \infty$ su $\{g \neq 0\}$.

Si ha quindi

Proposizione 5 Sia ψ un diffeomorfismo C^1 dell'aperto $\Omega \subseteq \mathbb{R}^n$ sull'aperto $\tilde{\Omega} \subseteq \mathbb{R}^n$, e sia $f: \mathbb{R}^n \rightarrow \mathbb{R}$ tale che: $\{y \in \mathbb{R}^n: f(y) \neq 0\}$ è limitato, $\{y \in \mathbb{R}^n: f(y) \neq 0\} \subseteq \tilde{\Omega} = \tilde{\Omega}^0$.

i) f Riem. int. $\iff f \circ \psi \cdot |\det d\psi|$ lo è $\iff f \circ \psi$ lo è. Nel caso:

ii)
$$\int f(x) dx = \int f(\psi(x)) |\det d\psi(x)| dx$$

Una formulazione equivalente (cfr. Proposizione 6 nel seguito) è:

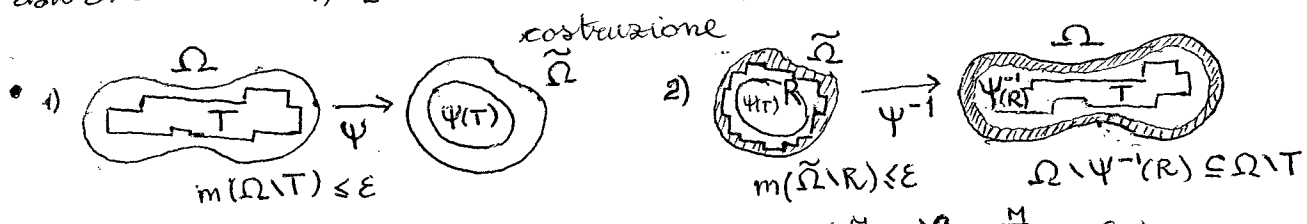
Proposizione 5bis Sia ψ un diffeomorfismo C^1 dell'aperto $\Omega \subseteq \mathbb{R}^n$ sull'aperto $\tilde{\Omega} \subseteq \mathbb{R}^n$, e sia $A \subseteq \mathbb{R}^n$ tale che: A è limitato, $\bar{A} \subseteq \Omega = \Omega^0$. Sia $f: \psi(A) \rightarrow \mathbb{R}$

i) f Riem. int. su $\psi(A) \iff f \circ \psi |\det d\psi|$ lo è su $A \iff f \circ \psi$ lo è su A .

ii)
$$\int_{\psi(A)} f(x) dx = \int_A f(\psi(x)) |\det d\psi(x)| dx$$

DIMOSTRAZIONE DI [Proposizione 5 \implies Teorema 2]

- Poiché le funzioni R. int. sono un reticolo e uno spazio vettoriale si ha φ R. int. $\iff \varphi^+$ e φ^- sono R. int. Ciò permette di ridursi al caso $g \geq 0$.
- Usando la caratterizzazione di integrale a le R. con maggioranti e minoranti R. int. si si riduce a provare che, per un opportuno M , da scegliersi a posteriori dato $\varepsilon > 0$ vi sono $\gamma_1, \gamma_2: \Omega \rightarrow \mathbb{R}: \gamma_1$ Riem. int., $\gamma_1 \leq g \circ \psi |\det d\psi| \leq \gamma_2, \int_{\Omega} \gamma_1 - \int_{\Omega} \gamma_2 \leq \varepsilon \cdot M$



1) $\Omega \in \mathcal{P} \implies m(\partial\Omega) = 0 \implies \exists S_1, \dots, S_M$ n-intervalli: $\partial\Omega \subseteq (\bigcup_{i=1}^M S_i)^0$ e $\sum_{i=1}^M m(S_i) \leq \varepsilon$
 $T := \Omega \setminus (\bigcup_{i=1}^M S_i)^0: T = \bar{T}, T \in \mathcal{P}, m(\Omega \setminus T) \leq m(\bigcup_{i=1}^M S_i) \leq \sum_{i=1}^M m(S_i) \leq \varepsilon$

2) Poiché T è compatto e ψ continua $\psi(T)$ è compatto in $\tilde{\Omega}$ quindi $\text{dist}(\psi(T), \partial\tilde{\Omega}) \geq \delta > 0$, quindi $\tilde{\Omega} \in \mathcal{P} \implies \exists P_1, \dots, P_N$ n-intervalli: $\partial\tilde{\Omega} \subseteq (\bigcup_{i=1}^N P_i)^0 \subseteq \bigcup_{i=1}^N P_i \subseteq \tilde{\Omega} \setminus \psi(T)$ e $\sum_{i=1}^N m(P_i) \leq \varepsilon$
 $R := \tilde{\Omega} \setminus (\bigcup_{i=1}^N P_i)^0: R = \bar{R}, R \in \mathcal{P}, m(\tilde{\Omega} \setminus R) \leq \varepsilon, \psi(T) \subseteq R \implies \Omega \setminus \psi^{-1}(R) \subseteq \Omega \setminus T$

• $\gamma_1 = 1_R \circ \psi \cdot g \circ \psi |\det d\psi|: g \geq 0 \implies \gamma_1 \leq g \circ \psi |\det d\psi|$, Prop. 5 con $f = 1_R \cdot g \implies \int_{\Omega} \gamma_1 = \int_{\Omega} g$.

• $\gamma_2 = \gamma_1 + 1_{\tilde{\Omega} \setminus R} \circ \psi |\det d\psi| \cdot (\sup g): \gamma_2 \geq g \circ \psi |\det d\psi|$, Prop. 5 con $f = 1_R \implies \implies 1_R \circ \psi |\det d\psi|$ Riem. int. Inoltre $|\det d\psi|$ è per ipotesi Riem. int. quindi si ha $1_{\tilde{\Omega} \setminus R} \circ \psi |\det d\psi| = (1_{\tilde{\Omega}} - 1_R \circ \psi) |\det d\psi| = |\det d\psi| - 1_R \circ \psi |\det d\psi|$ Riem. int. $\implies \gamma_2$ R. int.
 e $\int_{\Omega} \gamma_2 = \int_{\Omega} \gamma_1 + \sup g \int_{\Omega \setminus \psi^{-1}(R)} |\det d\psi|$ ($1_R \circ \psi = 1_{\psi^{-1}(R)}$).

• Concludendo:
 $0 \leq \int_{\tilde{\Omega}} g - \int_{\Omega} \gamma_1 = \int_{\tilde{\Omega} \setminus R} g \leq (\sup g) \cdot m(\tilde{\Omega} \setminus R) \leq [g \geq 0] (\sup g) \cdot \varepsilon$
 $0 \leq \int_{\Omega} \gamma_2 - \int_{\Omega} \gamma_1 \leq [g \geq 0, \Omega \setminus \psi^{-1}(R) \subseteq \Omega \setminus T] (\sup g) \int_{\Omega \setminus T} |\det d\psi| \leq (\sup g) \sup |\det d\psi| m(\Omega \setminus T) \leq (\sup g) \sup |\det d\psi| \cdot \varepsilon$
 per cui $|\int_{\tilde{\Omega}} g - \int_{\Omega} g| \leq (\sup g) (1 + \sup |\det d\psi|) \cdot \varepsilon$.

Osservazione 9 Per provare le proposizioni 5 e 5 bis si segue la seguente strategia.

- 1) un primo gruppo di proposizioni di carattere metrico-topologico che in particolare garantiscono che gli insiemi misurabili con chiusura in un aperto vengono trasformati da diffeomorfismi in insiemi misurabili
- 2) viste le ipotesi la Ψ e la Ψ^{-1} sono interscambiabili si decide quindi di rendere rigoroso l'argomento esposto alla fine dell'osservazione 6 bis di pagine 4 bis non come catena di eguaglianze ma come catena di diseguaglianze nel caso di integrande f che siano funzioni caratteristiche di insiemi misurabili con chiusure contenute nell'aperto. A tal fine si provano un secondo gruppo di proposizioni di carattere affine-differenziale
- 3) si passa ad integrande generiche nulle fuori di un chiuso limitato contenuto nell'aperto usando la caratterizzazione di integrale di Riemann con le maggioranti e minoranti Riemann integrabili dell'integranda.

Definizione 6 Sia $B \subseteq \mathbb{R}^n$ si definisce $\text{diam} B = \sup\{|x-y| : x \in B, y \in B\}$

• Se $\text{diam} B = \delta$, allora $\forall x \in \bar{B}$ si ha $\bar{B} \subseteq \bar{B}(x, \delta)$, ($\text{diam} B = \text{diam} \bar{B}$)

• $\text{diam} [0; \lambda]^n = \sqrt{n} \lambda$.

• Esercizio Si trovi un sottoinsieme di \mathbb{R}^2 con diametro $2R$ ma che non sia contenuto in nessuna palla di raggio R .

Definizione 7 Siano $B, C \subseteq \mathbb{R}^n$, $x \in \mathbb{R}^n$: $\text{dist}(x, C) = \inf\{|x-y| : y \in C\}$
 $\text{dist}(B, C) = \inf\{|x-y| : x \in B, y \in C\}$

Esercizio - $\text{dist}(x, C) = \text{dist}(x, \bar{C}) = \min\{|x-y| : y \in \bar{C}\}$, $\text{dist}(B, C) = \text{dist}(B, \bar{C})$
 B limitato $\Rightarrow \text{dist}(\bar{B}, \bar{C}) = \min\{|x-y| : x \in \bar{B}, y \in \bar{C}\}$

Definizione 8 Sia $B \subseteq \mathbb{R}^n$, $\rho > 0$, si pone

$$B_\rho = B + \bar{B}(0, \rho) = \{x \in \mathbb{R}^n : \text{dist}(x, B) \leq \rho\}$$

Sia ψ da \mathbb{R}^n in \mathbb{R}^n

Lemma 3 ψ L -lipschitziana su $A \Rightarrow \text{diam} \psi(A) \leq L \text{diam} A$

Lemma 4 ψ localmente lipschitziana su $\Omega = \Omega^\circ \supseteq \bar{A}$, $m(A) = 0 \Rightarrow m(\psi(A)) = 0$

Lemma 5 ψ omeomorfismo tra Ω e $\tilde{\Omega} = \tilde{\Omega}^\circ$; $\Omega = \Omega^\circ \supseteq \bar{A}$, A limitato $\Rightarrow \partial\psi(A) = \psi(\partial A)$

Lemma 6 $\psi: \Omega \rightarrow \tilde{\Omega} = \tilde{\Omega}^\circ$ bilipschitziana sui compatti, $\bar{A} \subseteq \Omega = \Omega^\circ$, A limitato:
 $\Rightarrow \psi(A)$ limitato, $\overline{\psi(A)} \subseteq \tilde{\Omega}$ e $[A \in \mathcal{P}\mathcal{J}] \Leftrightarrow \psi(A) \in \mathcal{P}\mathcal{J}$

DIMOSTRAZIONE

3. $\forall x, y \in A \quad |\psi(x) - \psi(y)| \leq L|x - y|$.

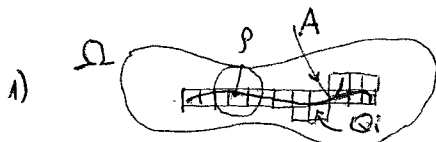
4. Si prova $\forall \varepsilon > 0 \exists \sigma$ semplice: $1_{\psi(A)} \leq \sigma$ e $\int \sigma \leq \varepsilon \cdot M$

• $m(A) = 0 \Rightarrow A \in \mathcal{P}\mathcal{J} \Rightarrow A$ limitato $\Rightarrow \bar{A}$ limitato $\Rightarrow \text{dist}(\bar{A}, \partial\Omega) = \rho > 0$

• Fissato $\varepsilon > 0$ per il corollario 2 $\exists x_1 + [0; \lambda]^n = Q_1, \dots, x_N + [0; \lambda]^n = Q_N$ con

1) $A \subseteq \bar{A} = \partial A \subseteq (\bigcup_{i=1}^N Q_i)^\circ$, $m(\bigcup_{i=1}^N Q_i) = N\lambda^n < \varepsilon$

e inoltre $\lambda \leq \rho/\sqrt{n}$, $\bar{A} \cap Q_i \neq \emptyset$ da cui segue $\bigcup_{i=1}^N \overline{Q_i} \subseteq \Omega$



$\text{diam} [0; \lambda]^n = \sqrt{n} \lambda < \rho$

$x_i + [0; \lambda]^n = Q_i$



• Essendo $\bigcup_{i=1}^N Q_i = \overline{\bigcup_{i=1}^N Q_i}$ compatto, ψ è ivi lipschitziana per una certa costante L :
 $\text{diam} \psi(Q_i) \leq L \text{diam} Q_i = L\lambda\sqrt{n}$

2) $\psi(Q_i) = \psi(x_i + [0; \lambda]^n) \subseteq B(\psi(x_i), L\lambda\sqrt{n}) \subseteq \psi(x_i) + [-L\lambda\sqrt{n}; L\lambda\sqrt{n}]^n =: \tilde{Q}_i$

$\psi(A) \subseteq \bigcup_{i=1}^N \tilde{Q}_i$, posto $\sigma = \sum 1_{\tilde{Q}_i}$, si ha $1_{\psi(A)} \leq \sigma$ ed inoltre

$\int \sigma = \sum m(\tilde{Q}_i) = 2^n L^n \lambda^n n^{n/2} \cdot N \leq 2^n L^n n^{n/2} \varepsilon$.

5. Esercizio

6. ψ localmente bilipschitziana $\Rightarrow \psi$ omeomorfismo $\stackrel{5}{\Rightarrow} \partial\psi(A) = \psi(\partial A) \subseteq \psi(\bar{A})$ che è compatto $\Rightarrow \overline{\psi(A)} = \psi(A) \cup \partial\psi(A) \subseteq \psi(\bar{A}) \subseteq \tilde{\Omega}$,

Quindi dalle ipotesi su A seguono le stesse asserzioni su $\psi(A)$:

Basta quindi provare $A \in \mathcal{P}\mathcal{J} \Rightarrow \psi(A) \in \mathcal{P}\mathcal{J}$, la seconda implicazione ottenendosi sostituendo ψ^{-1} a ψ e $\psi(A)$ ad A .

• ∂A limitato $\Rightarrow \psi$ lipschitziana su un aperto che contiene $\partial A \Rightarrow m(\psi(\partial A)) = 0 \Rightarrow m(\partial\psi(A)) = 0 \Rightarrow \psi(A) \in \mathcal{P}\mathcal{J}$.

Proposizione 6 ψ diffeomorfismo C^1 da Ω in $\tilde{\Omega}$; $\bar{A} \subseteq \Omega = \Omega^\circ$, A limitato:

$\Rightarrow \psi(A)$ limitato, $\overline{\psi(A)} \subseteq \tilde{\Omega}$ e $[A \in \mathcal{P}\mathcal{J}] \Leftrightarrow \psi(A) \in \mathcal{P}\mathcal{J}$

DIMOSTRAZIONE Per le disuguaglianze del valor medio di Lagrange per funzioni vettoriali si ha che ψ e ψ^{-1} sono localmente lipschitziane.

Sia ψ da \mathbb{R}^n in \mathbb{R}^n

Lemma 7 $\psi \in C^1(\Lambda, \mathbb{R}^n)$, con $d\psi$ uniformemente continua; allora:

$\forall \varepsilon \exists \delta \forall B \subseteq \Lambda$ convesso, $\text{diam } B \leq \delta, \forall x \in B, y \in B$ si ha
 $|\psi(y) - \psi(x) - d\psi(x)(y-x)| \leq \varepsilon |x-y|$

DIMOSTRAZIONE Dato $\varepsilon > 0$, sia $\delta_\varepsilon > 0$ tale che $\forall u, v \in \Lambda |u-v| \leq \delta \Rightarrow |d\psi(u) - d\psi(v)| \leq \frac{\varepsilon}{\sqrt{n}}$

sia $B \subseteq \Lambda$ convesso con $\text{diam } B \leq \delta, x \in B, y \in B$; si ha:


i. $\forall t \in [0, 1] (1-t)x + ty \in B \subseteq \Lambda \Rightarrow \psi$ è definita su $(1-t)x + ty$; sia $g_i(t) = \psi_i((1-t)x + ty)$

ii. $|\psi(y) - \psi(x) - d\psi(x)(y-x)|^2 = \sum_{i=1}^n |\psi_i(y) - \psi_i(x) - d\psi_i(x)(x-y)|^2 = [\exists \tau_i \in]0, 1[$
 per il teorema di Lagrange applicato a ogni g_i : $\sum_{i=1}^n |(d\psi_i((1-\tau_i)x + \tau_i y) - d\psi_i(x))(x-y)|^2 \leq$
 $\sum_{i=1}^n |d\psi_i((1-\tau_i)x + \tau_i y) - d\psi_i(x)|^2 \cdot |x-y|^2 \leq [|x-y| \leq \delta] \varepsilon^2 \cdot |x-y|^2$

Osservazione 10 i. $\psi(B) \subseteq \psi(x) + (d\psi(x)(B-x))_{\varepsilon \delta}$

Esercizio Q è convesso $\Leftrightarrow \forall s \geq 0, t \geq 0 \quad sQ + tQ = (s+t)Q$ *

ii. Quindi se Q è convesso con parte interna $\overline{B(c, t)} \subset^* Q \subseteq \Lambda$; $\text{diam } Q \leq \delta$:

$\overline{Q}_{\varepsilon \delta} = Q + B(c, \varepsilon \delta) = Q + B(c, \varepsilon \delta) - c = Q + \frac{\varepsilon \delta}{t} B(c, t) - c \stackrel{**}{\subseteq} Q + \frac{\varepsilon \delta}{t} Q - c \stackrel{**}{=} (1 + \frac{\varepsilon \delta}{t})Q - c$
 e.g. $\varepsilon \delta \gg r = 2t$


iii. Quindi se $B, \psi(B) \in \mathcal{P}$ e $B(c, t) \subseteq d\psi(x)B$ (i.e. $(d\psi(x) \cdot B)^\circ \neq \emptyset$)

⊗ $m(\psi(B)) \leq (1 + \frac{\varepsilon \delta}{t})^n |\det d\psi(x)| m(B)$

Affinchè se B non è troppo allungato anche $d\psi(x)B$ non lo è, e t non sia "piccolo" in modo che la stima ⊗ sia significativa (non come nell'esempio!) occorre $|\det d\psi(x)| \neq 0$ e considerare $\delta < 2|\det d\psi(x)|^{-1}$. Affinchè questo argomento sia uniforme non solo occorre $\forall x |\det d\psi(x)|^{-1} \neq 0$ ma anche considerare convessi non troppo allungati; per semplicità ipercubi.

Lemma 8 Sia ψ c.c.r. su $\Omega = \Omega^\circ \supseteq \bar{\Lambda}$, Λ limitato; allora

$\forall \varepsilon \exists \rho \forall Q$ ipercubo, $\text{diam } Q \leq \rho, Q \subseteq \bar{\Lambda}, \forall x \in Q$:

$m(\psi(Q)) \leq (1 + \varepsilon)^n |\det d\psi(x)| m(Q)$

DIMOSTRAZIONE

Poichè $\bar{\Lambda} \times \{v \in \mathbb{R}^n: |v|=1\}$ è compatto, $(x, v) \mapsto |d\psi(x) \cdot v|$ ivi è continua: $\exists \min_{x \in \bar{\Lambda}} \min_{|v|=1} |d\psi(x) \cdot v| =: 2t$.

Poichè ψ è un diffeomorfismo $t \geq 0$. In particolare: $d\psi(x)[0, 1]^n \supseteq B(0, t)$

Fissato ε sia δ adesso relativo dato dal Lemma 7

$m(\psi(Q)) \leq (1 + \frac{\varepsilon \delta}{t})^n |\det d\psi(x)| m(Q) \leq (1 + \varepsilon)^n |\det d\psi(x)| m(Q)$

Lemma 9

Ψ diffeomorfismo C^1 da Ω su $\tilde{\Omega}$, $\bar{A} \subseteq \Omega = \Omega^\circ$, $A \in \mathcal{PJ} \Rightarrow$

$$m(\Psi(A)) \leq \int_A |\det d\Psi(x)| dx$$

DIMOSTRAZIONE. Grazie al lemma 4 ci si riduce al caso $m(A) \neq 0$

• \bar{A} discosto da $\partial\Omega$: $A \in \mathcal{PJ} \Rightarrow A$ limitato $\Rightarrow \bar{A}$ compatto $\subseteq \Omega$ aperto $\Rightarrow \text{dist}(\bar{A}, \partial\Omega) = \min = \rho \neq 0$

$\forall \varepsilon$ è quindi: $\Lambda: \bar{A} \subseteq \Lambda^\circ = \Lambda \subseteq \bar{\Lambda} \subseteq \Omega$, e $\bar{\Lambda}$ compatto (e.g. $\Lambda = \bar{A} + \bar{B}(0, \rho/2)$)

• Fissato $\varepsilon > 0$ è possibile scegliere $\delta > 0$:

i. $\forall x, y \in \bar{\Lambda}, |x-y| < \delta \Rightarrow ||\det d\Psi(x)| - \det d\Psi(y)|| \leq \varepsilon$ $|\det d\Psi|$ u.c. su $\bar{\Lambda}$

ii. $\forall Q = x + \delta[0,1]^n \subseteq \bar{\Lambda} \Rightarrow m(\Psi(Q)) \leq (1+\varepsilon)^n |\det d\Psi(x)| m(B)$ (lemma 8)

iii. $\exists Q_1 = x_1 + \delta[0,1]^n, \dots, Q_N = x_N + \delta[0,1]^n$

$Q_i \cap Q_j = \emptyset, \bar{A} \subseteq (\bigcup_{i=1}^N Q_i)^\circ \subseteq (\bigcup_{i=1}^N Q_i) \subseteq \Lambda, m(\bigcup_{i=1}^N Q_i \setminus A) \leq \varepsilon$ (corollario 2)

• Si rende rigorosa la catena di passaggi dell'osservazione 6 bis

$$m(\Psi(A)) \leq m(\bigcup_{i=1}^N \Psi(Q_i)) \leq \sum_{i=1}^N m(\Psi(Q_i)) \stackrel{(ii)}{\leq} (1+\varepsilon)^n \sum_{i=1}^N |\det d\Psi(x_i)| m(Q_i) = [Q_i \cap Q_j = \emptyset]$$

$$= (1+\varepsilon)^n \left(\int_{\bigcup_{i=1}^N Q_i} |\det d\Psi(x)| dx + \sum_{i=1}^N \int_{Q_i} (|\det d\Psi(x_i)| - |\det d\Psi(x)|) dx \stackrel{(i)}{\leq} \right)$$

$$\leq (1+\varepsilon)^n \left(\int_A |\det d\Psi(x)| dx + (1+\varepsilon)^n \varepsilon \cdot m(\bigcup_{i=1}^N Q_i) \right) \leq$$

$$\leq (1+\varepsilon)^n \int_A |\det d\Psi(x)| dx + (1+\varepsilon)^n \int_{\bigcup_{i=1}^N Q_i \setminus A} |\det d\Psi| + (1+\varepsilon)^n \varepsilon m(\bigcup_{i=1}^N Q_i) \stackrel{(iii)}{\leq}$$

$$\leq (1+\varepsilon)^n \int_A |\det d\Psi| + (1+\varepsilon)^n \varepsilon \left(\sup_{\bar{\Lambda}} |\det d\Psi| + \varepsilon + m(A) \right).$$

Essendo $\varepsilon > 0$ si ha $m(\Psi(A)) \leq \int_A |\det d\Psi|$.

Proposizione 7 Ψ diffeomorfismo C^1 da Ω su $\tilde{\Omega}$, f continua su $\tilde{\Omega}$, $\bar{A} \subseteq \Omega = \Omega^\circ$, $A \in \mathcal{PJ}$; allora

$$\int_{\Psi(A)} f(x) dx = \int_A f(\Psi(x)) |\det d\Psi(x)| dx$$

DIMOSTRAZIONE

• Grazie al lemma 4 ci si riduce al caso $m(A) \neq 0$

• Poiché $f = f^+ - f^-$; f^+, f^- continue non negative ci si riduce al caso $f \geq 0$.

• Per il lemma 6 sia $\tilde{\Lambda}: \overline{\Psi(A)} \subseteq \tilde{\Lambda}^\circ = \tilde{\Lambda} \subseteq \bar{\tilde{\Lambda}} \subseteq \tilde{\Omega}$. Sia $\varepsilon > 0$:

• Vi è σ semplice: $0 \leq \sigma \leq f \cdot 1_{\Psi(A)}$, $\int_{\Psi(A)} f \leq \int_{\Psi(A)} \sigma + \varepsilon$, $\sigma = \sum_{i=1}^N \lambda_i 1_{R_i}$, $\lambda_i \geq 0$, $\bigcup_{i=1}^N R_i \subseteq \tilde{\Lambda}$

$$\int \sigma = \sum_{i=1}^N \lambda_i m(R_i) = \sum_{i=1}^N \lambda_i m(\Psi(\Psi^{-1}(R_i))) \leq [\lambda_i \geq 0, \text{Prop. 6, Lemma 9}] \sum_{i=1}^N \lambda_i \int_{\Psi^{-1}(R_i)} |\det d\Psi| =$$

$$= \int \sigma \circ \Psi |\det d\Psi| \leq \int (\sigma \cdot 1_A) \circ \Psi |\det d\Psi| = \int_A \sigma \circ \Psi |\det d\Psi| \Rightarrow \forall \varepsilon \int_{\Psi(A)} f \leq \int_A \sigma \circ \Psi |\det d\Psi| + \varepsilon$$

• Scambiando Ω con $\tilde{\Omega}$, Ψ con Ψ^{-1} , A con $\Psi(A)$, f con $\sigma \circ \Psi |\det d\Psi|$ per la proposizione 6 le ipotesi sono soddisfatte, considerando che $|\det d\Psi \circ \Psi^{-1}| = |\det d\Psi^{-1}|^{-1}$ si ottiene l'altra disuguaglianza.

DIMOSTRAZIONE DELLA PROPOSIZIONE 5/5bis

- Ci si può ridurre all'implicazione $f \in \text{Riem.int } \tilde{\Omega} \Rightarrow f \circ \psi | \det d\psi | \in \text{Riem.int } \Omega$ grazie alla proposizione 6 e alla simmetria delle ipotesi
- Ci si può ridurre al caso $f \geq 0$, essendo $\varphi = \varphi^+ - \varphi^-$, $\varphi \in \text{Riem.int} \Leftrightarrow \varphi^+ \text{ e } \varphi^- \in \text{Riem.int}$.
- Sia $\mathcal{X} : \{f \neq 0\} \subseteq \mathcal{X}^0 \subseteq \tilde{\mathcal{X}} \subseteq \tilde{\Omega}$, $\tilde{\mathcal{X}}$ limitato: Poiché $f \geq 0$ è Riem.int.
 $\forall \varepsilon > 0 \exists \sigma_1 = \sum_{i=1}^M \lambda_i 1_{R_i}$, $\sigma_2 = \sum_{i=1}^N \gamma_i 1_{Q_i}$ funzioni semplici "
 $0 \leq \sigma_1 \leq f \leq \sigma_2$, $\int f - \int \sigma_1 \leq \varepsilon$, $\int \sigma_2 - \int f \leq \varepsilon$, $\overline{\cup R_i \cup \cup Q_i} \subseteq \tilde{\mathcal{X}} = \tilde{\mathcal{X}}^0$
- $\int \sigma_1 \circ \psi | \det d\psi | = \sum_{i=1}^M \lambda_i \int_{R_i} \psi | \det d\psi | \leq \int f \circ \psi | \det d\psi | \leq \sum_{i=1}^N \gamma_i \int_{Q_i} \psi | \det d\psi | = \int \sigma_2 \circ \psi | \det d\psi |$
- Grazie alle proposizioni 6 e alle proprietà di algebra delle Riemann integrabili: $\sigma_i \circ \psi | \det d\psi |$ sono Riemann integrabili.
- Per la proposizione 7 e la linearità dell'integrale:
 $\int \sigma_1 \circ \psi | \det d\psi | = \sum \lambda_i \int_{\psi^{-1}(R_i)} | \det d\psi | = \sum \lambda_i m(R_i) = \int \sigma_1$, analogamente
 $\int \sigma_2 \circ \psi | \det d\psi | = \int \sigma_2$
 Inoltre $|\int \sigma_1 \circ \psi | \det d\psi | - \int \sigma_2 \circ \psi | \det d\psi || \leq 2\varepsilon$.
- Si ottiene con la Riemann integrabilità di $f \circ \psi | \det d\psi |$.
 Poiché inoltre $|\int \sigma_1 \circ \psi | \det d\psi | - \int f| \leq \varepsilon$ si ottiene la formula